

УДК 553.411.08:552.1

ФИЗИКО-ХИМИЧЕСКОЕ МОДЕЛИРОВАНИЕ МИНЕРАЛООБРАЗОВАНИЯ НА ЗОЛОТОРУДНЫХ МЕСТОРОЖДЕНИЯХ (система Fe – As – S – Na – Cl – H₂O)

Н. В. Вилор¹, Л. А. Казьмин², Л. А. Павлова¹

¹Институт геохимии им. А. П. Виноградова СО РАН, г. Иркутск
E-mail: vilor@igc.irk.ru

²Научно-исследовательский геотехнологический центр ДВО РАН,
г. Петропавловск-Камчатский
E-mail: kazmin@igc.irk.ru

При создании численной физико-химической модели формирования золото-кварц-сульфидного оруденения кварц-пирит-арсенопиритового минерального типа проведен расчет термодинамических констант твердых минеральных фаз и компонентов раствора в системе Fe – As – S – Na – Cl – H₂O. Вычислены термодинамические функции миналов мышьяковистого пирита с привлечением данных анализа минералообразования. В водных и сульфидных гидротермальных растворах при температуре 100–300°C для давления ≤ 300 бар и по линии насыщения рассчитана последовательность образующихся парагенезисов с арсенопиритом при пошаговой эволюции раствора, насыщенного по отношению к арсенопириту и при прохождении этого раствора через пиритовую матрицу. Установлены области устойчивости мышьяковистого пирита.

Ключевые слова: арсенопирит, As-пирит, гидротермальный раствор, физико-химическое моделирование, минералообразование.

ВВЕДЕНИЕ

Достижения в изучении геохимии рудогенеза при исследованиях на гидротермальных месторождениях золото-кварцевой, золото-сульфидно-кварцевой и сульфидно-прожилковой рудных формаций основаны на эффективном использовании вычислительной техники с применением полных, надежных и непротиворечивых баз данных по многим параметрам (Chudnenko et al., 1995; Shock et al., 1997; Karpov et al., 2002). Ряд важнейших золоторудных месторождений, выделяющихся крупнейшими запасами, к которым относятся гиганты Олимпиада, Наталка, Нежданинское (Константинов и др., 2000; Сафонов, 2003), рудные объекты Верхне-Колымского и Верхне-Селемджинского рудных районов (Горячев и др., 2008), золоторудные гиганты Узбекистана и Киргизии (Конеев и др., 2008), относятся к весьма распространенному кварцево-жильному или кварц-сульфидно-прожилковому пирит-арсенопиритовому минеральному типу. На них пирит (**py**) и арсенопирит (**asp**) являются главными, основными и концентраторами, и носителями золота различной дисперсности в присутствии меньшего количества других сульфидов. Поэтому изучение «тонких» деталей фор-

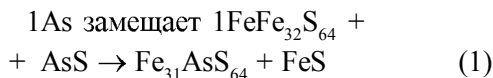
мирования данного безусловно важнейшего парагенезиса и особенно с выяснением условий появления такой распространенной металлоносной фазы, как мышьяковистый пирит (**As-py**), имеет непосредственное приложение в оперативном создании численных моделей минералообразования в конкретных условиях температур, давлений и концентраций на исследуемых месторождениях.

Ассоциация пирита и арсенопирита

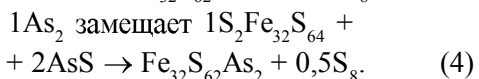
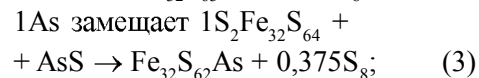
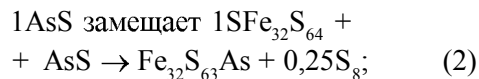
Начиная с работ Л. Кларка (1966), У. Кречмаря и С. Скотта (Kretschmar, Scott, 1976), в системе Fe – As – S рассматриваются 3 основных поля устойчивости Fe-минералов: пирита FeS₂, арсенопирита FeAsS и леллингита FeAs₂ (lo). На фазовой диаграмме между составами FeAs₂ – FeS₂ отсутствует смесимость, а на уровне мольной доли мышьяка 0,5 (As/As + S) располагается узкий интервал составов собственно арсенопирита FeAsS (Тюкова, Ворошин, 2007). Твердый раствор FeS₂ – As соответствует лишь низким концентрациям с X As не более 0,05 (Reich, Becker, 2006), т. е. около 6 мас.%. Тем не менее мышьяковистые пириты широко распространены на золоторудных месторождениях, где эта фаза концентрирует золото наряду с арсенопиритом и обычным пиритом.

Даже в золоторудном гиганте Сухой Лог с низкими концентрациями As примесь этого элемента в некоторых рудных генерациях пирита варьирует от 0,26 до 0,87 мас.%, а в отдельных случаях достигает 2,5 мас.% (Гаврилов, Кряжев, 2008). Содержание мышьяка в пирите может приближаться к 10 мас.% (Blanchard et al., 2007), а на отдельных золоторудных месторождениях карлинского типа оно повышается до 11,27–19 мас.% (Simon et al., 1999; Cline, 2001).

При дальнейшем повышении содержания мышьяка начинают формироваться домены метастабильного кубического FeAsS, а затем образуется парагенезис **py + asp_{монокл.}**. На основании расчетов в терминах плотностной функциональной теории (DFT) М. Блэнчард с соавторами (Blanchard et al., 2007) показали, что в области As-содержащего твердого раствора в пирите возникают динионные группы AsS. Замещение серы мышьяком в структуре пирита энергетически более выгодно, чем замещение железа, а конфигурация AsS более предпочтительна по сравнению с типом As₂. По результатам рентгеноструктурных измерений в пирите с содержанием As не более 5 мас.% для восстановительных условий кристаллизации минерала предложен вариант структурного размещения мышьяка:



и варианты замещения серы мышьяком:



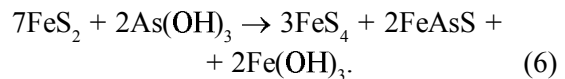
Рассчитанная энергия растворения в реакциях 1–4 (эВ), равная 2,192; 1,116; 3,869 и 2,739 соответственно, выделяет, по мнению авторов, как наиболее благоприятные минимальные значения двух первых реакций, с особой предпочтительностью 2-й. В экспериментах и расчетах с использованием ПК «Гиббс» Г. Р. Колонин, Г. А. Пальянова и Г. П. Широносова (1988, 1991; Г. А. Пальянова, 2008) исследовали устойчивость **asp** в широком кислотно-щелочном интервале растворов при температуре 200–300°C, p = 500 бар. Они установили, что поля инконгруэнтной растворимости арсенопирита соответствуют некоторым рудным парагенезисам, сменяющимся в зависимости от кислотно-щелочной ситуации. Выявленный интервал однофазовой, индивидуальной устойчивости арсенопирита, располагающийся в неширокой субщелочной области, характеризуется низким окислительным потенциалом при парциальном давле-

нии кислорода от $1 \cdot 10^{-35}$ до $1 \cdot 10^{-76,6}$. Широко распространенная ассоциация арсенопирита с пиритом располагается при pH ≤ 4.

Отчасти, как альтернативный ход образования арсенопирита, может рассматриваться сорбционный механизм осаждения ионов арсенита As(III) на сульфидной матрице троилита и пирита (Bostic, Fendorf, 2003). Появление арсенопиритового состава, как адсорбированного комплекса, сопровождается образованием гидроксида и метастабильного тетрасульфида железа



или



Сорбция, свойственная аноксидным, восстановительным условиям, увеличивается с повышением щелочности, снижаясь с возрастанием концентрации растворенного сероводорода. В высокосульфидных средах быстро выделяется осадок аурипигmenta **As₂S₃ (орп)**. Тем не менее в умеренно сероводородных растворах с концентрацией H₂S около 5 ммоль или несколько выше сорбция становится минимальной вследствие стабилизации растворенного мышьяка в форме тиоарсенитов.

Важнейшей частью исследований по созданию численной физико-химической модели формирования золото-кварц-сульфидного оруденения рассматриваемого кварц-пирит-арсенопиритового рудно-минерального типа является расчет термодинамических констант в сульфоарсенидной системе **Fe – As – S – Na – Cl – H₂O**. Включая рассмотрение равновесий парагенезиса **py + asp** с частицами раствора, анализ системы требует больших расчетных ресурсов согласованных термодинамических констант в рамках решения обратной задачи физико-химического моделирования с помощью ПК «Селектор». При согласовании значений термодинамических констант зависимых компонентов системы, содержащих Fe, As и S, с базой данных ПК возникла необходимость оценки роли мышьяковистого пирита в парагенезисе **py + asp**. Цель данной работы заключается в расчетном определении минеральных ассоциаций, образующихся при взаимодействии гидротермального раствора с арсенопиритом, а также эволюции парагенезисов, по шкале температур с определением условий появления в них **As-py**. В задачу исследования включалось вычисление термодинамических функций миналов данной фазы переменного состава с привлечением анализа минералообразования на золото-кварцевом месторождении пирит-арсенопиритового минерального типа.

Природный объект

Формирование **py + asp** ассоциации рассмотрено на золоторудном кварц-сульфидном месторождении Верный, расположенном в северной час-

ти Бодайбинского рудно-rossыпного района (Вилор и др., 2007). Металлоносные зоны кварц-сульфидно-прожилкового состава и кварцевых жил залегают в верхнериифейской углеродистой олигомиктовой песчано-сланцевой (аунакитская свита) формации на своде дислоцированной антиклинали II порядка. На рудном узле в формировании золотого оруденения выделяются 5 стадий (Вилор и др., 2007). Начальная стадия соответствует первичному перераспределению низких концентраций Au. На заключительной стадии содержание золота в руде также снижается. **II стадия** – колчеданная (сульфидная) включает гидротермальный привнос и переотложение раннего пирита и образование золотоносных зон сульфидизации с проявлением вкрапленных, линзовидных и конкрециевидных тонко- и мелкозернистых форм пиритовой минерализации, по времени появления коррелирующих с развитием поздней фазы прогрессивной метаморфической зональности Мамско-Бодайбинского зонального метаморфического комплекса. На **III сульфоарсенидной стадии** преобразуются зоны сульфидизации с возникновением кварц-сульфидных прожилков и рудных столбов с высокими концентрациями золота. Уровню **III-А подстадии** соответствует собственно золото-кварц-арсенопиритовое (с пиритом) прожилково-вкрапленное оруденение на месторождении Верный и на аналогичных ему рудных объектах Александр Невский и Чертово Корыто. В рудах преобладает кварц-

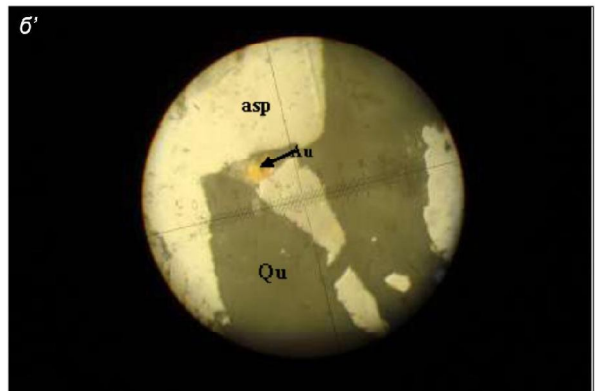
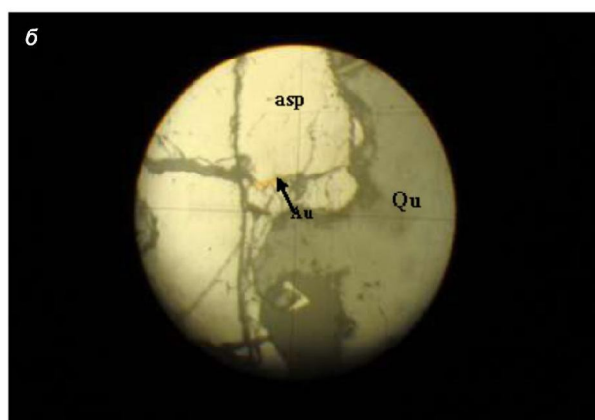
пиритовый или кварц-пирит-арсенопиритовый состав с незначительным присутствием пирротина, низкожелезистого сфалерита, халькопирита и относительно редкого тетраэдрита, близкого к фрейбергиту (Вилор и др., 2003). С ним и арсенопиритом ассоциирует самородное золото. Метакристаллы **asp** и шестоватый кварц в виде оторочек располагаются среди пиритовых агрегатов **II стадии** (рис. 1, *a*).

Изучение состава пиритов и арсенопиритов проведено на электронно-зондовых рентгеноспектральных микроаналитических комплексах JCXA-733 и JXA8200 (JEOL Ltd, Japan), соответственно укомплектованных энергетическими спектрометрами: Sahara (Princeton Gamma-Tech Ltd) и MiniCup (Leon Ltd, Japan), а также волновыми спектрометрами TAP, PET и LiF и пятью кристаллами-анализаторами LDE1, LDE2, TAP, TAPH, LDEBH, PETJ, PETH, LiF и LiFH. В качестве образцов сравнивания использовали стандартные образцы, аттестованные в Институте геологии, геофизики и минералогии СО РАН (г. Новосибирск): природные пирит, арсенопирит, халькопирит, сфалерит, галенит и сплав Fe – Co – Ni. Качественные определения содержаний элементов выполняли с помощью волновых спектрометров при ускоряющем напряжении 20 кВ, токе электронного пучка 20 нА и диаметре зонда 1 мкм, управляя съемкой и пересчитывая регистрируемые относительные интенсивности в концентрации с помощью расчетно-



Рис. 1. Пирит-арсенопиритовая руда месторождения Верный (Восточная Сибирь): *а* – метакристаллы **asp** III-А подстадии среди обособлений мелко- и тонкозернистого пирита предшествующей II рудной стадии. **Qu** – кварц шестоватого сложения, **schist** – углеродистый пиритизированный слюдисто-кварц-карбонатный микросланец (метаалевролит); *б, б'* – включения золота (**Au**) в арсенопирите (**asp**) и кварце (**Qu**) ($\times 60$)

Fig. 1. Pyrite-arsenopyrite ore from Verny Deposit (East Siberia): *a* – the III-A substage **asp** metacrystals among small- and fine-grained pyrite of the II preceding ore stage. **Qu** is columnar quartz, **schist** is carbonaceous pyrite-altered micaceous-quartz-carbonate microshale (meta-siltstone); *b, b'* – gold inclusions (**Au**) in arsenopyrite (**asp**) and quartz (**Qu**) (magnification is 60)



управляющего комплекса MARshell32 (Канакин, Карманов, 2006), адаптированного в программное обеспечение микронализатора JCXA-733. Распределение мышьяка в пиритах изучали, используя комплекс JXA8200. Полученные результаты

соответствуют II категории анализа со среднеквадратическим отклонением результатов, не превышающим допустимое, а сумма компонентов, содержание которых в пробе выше 0,1%, лежит в интервале $99,5 \pm 1,5\%$.

В периферических трещиноватых участках кристаллов **asp** и в прилегающем кварце присутствуют микрозерна золота (см. рис. 1, б) размерностью до 0,22–0,27 мм. Средний состав **asp** (мас.%) ($n = 100$): Fe $34,495 \pm 0,366$, As $46,096 \pm 0,273$, S $19,456 \pm 0,254$ близок к почти стехиометрическому формульному стандарту $\text{Fe}_{1,003} \text{As}_{1,002} \text{S}_{0,988} \text{Co}_{0,007}$.

В мышьяковистом пирите концентрации Au и As связаны пропорционально со значимым коэффициентом корреляции 0,765 (Вилор и др., 2007).

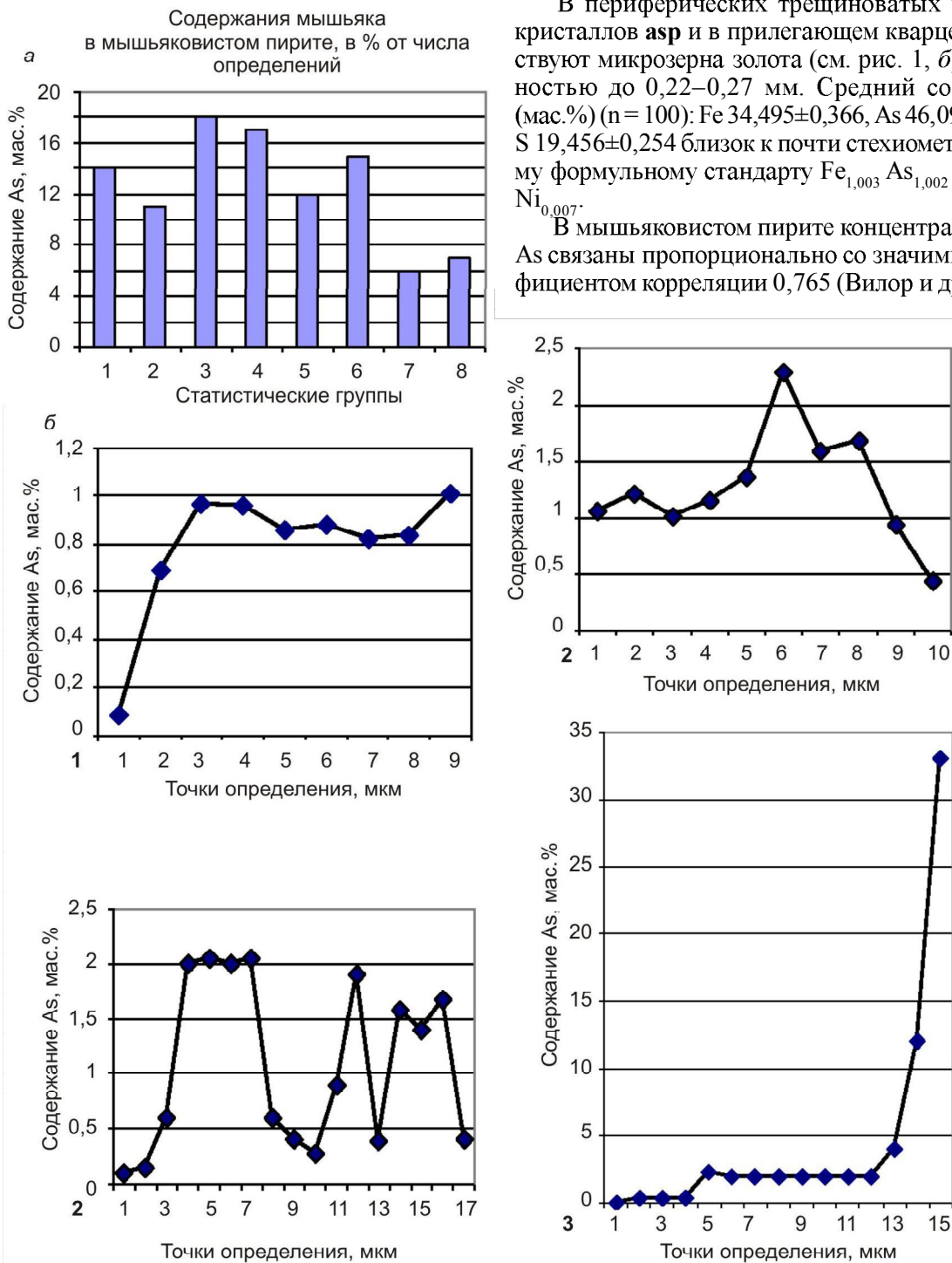


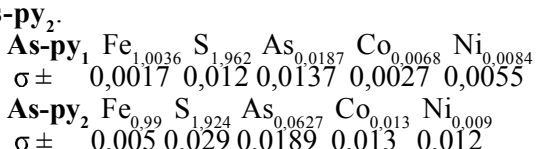
Рис. 2. Составы мышьяковистых пиритов: *α* – статистические группы содержаний мышьяка в пирите, мас.%: группа 1 – 0,2–0,3; 2 – 0,3–0,4; 3 – 0,4–0,6; 4 – 0,6–0,8; 5 – 0,8–1,0; 6 – 1,0–1,2; 7 – 1,2–1,5; 8 – 1,5–2,5; *б* – распределение мышьяка в пирите. Два типа распределения: однородное – квазизотропное (1) и неоднородное – анизотропное (2). Переход между пиритом и арсенопиритом (3)

Fig. 2. Arsenic pyrite compositions: *α* – the statistical groups of As content of pyrite, mass. %: group 1 – 0.2–0.3; 2 – 0.3–0.4; 3 – 0.4–0.6; 4 – 0.6–0.8; 5 – 0.8–1.0; 6 – 1.0–1.2; 7 – 1.2–1.5; 8 – 1.5–2.5; *б* – the distribution of As in pyrite. Two types of distribution: homogeneous – quasiisotropic (1) and heterogeneous – anisotropic (2). The pyrite-arsenopyrite transfer (3)

Повышение мышьяковистости **py** до 1800–5000 г/т увеличивает его золотоносность до 6,02–15 г/т. Содержания As в пирите предрудной реликтовой диагенетически-эпигенетической и раннеметаморфической стадий, обычно не превышающие 0,151–0,168 мас.%, в **As-py** III-A подстадии достигают 2,5 мас.%. Распределение мышьяка в **As-py** полимодальное (рис. 2, *a*). Это – интервалы 0,4–0,8 и 1–1,2 мас.%. Присутствуют 2 типа распределения: более или менее однородное – квазизотропное (1) и неоднородное – анизотропное (2) (см. рис. 2, *b*, *b'*). Однако при 1-м типе в кристаллах присутствуют зоны и блоки с содержанием As, ненамного превышающим минимум ранних стадий. При анизотропном распределении возникают локальные максимумы (до 2,3–2,5 мас.% As) с размерами от 4 до 6,5 мкм. Внутри кристаллов присутствуют такие же зоны протяженностью более 41 мкм с шириной до 2,4–5,6 мкм.

Содержания мышьяка, железа и серы в **As-py** обратно пропорциональны коэффициентам корреляции **S – As** – 0,5 ($n = 153$) и **Fe – As** – 0,4 ($n = 150$) соответственно. Рудные элементы-примеси располагаются в ряд в порядке частоты распространения и величины концентраций: $\text{Co} \rightarrow \text{Ni} \rightarrow \text{Cu} \rightarrow \text{Zn} \rightarrow \text{Pb}$. Их содержание не превышает 0,7 мас. % при среднем уровне 0,2–0,1 мас.%.

В формульном составе пиритов в зависимости от содержания As выделяется группа с замещенной серой (при среднем As 0,443 мас.%, $\sigma = \pm 0,201$) **As-py₁** и группа, в которой мышьяк замещает серу и железо (при среднем As 1,545 мас. % $\sigma = \pm 0,531$) **As-py₂**.



Группа **As-p₂** связана с участками кристаллов **py**, содержащими повышенные концентрации As, и ассоциирует с **asp** III-A подстадии.

МЕТОДИКА ТЕРМОДИНАМИЧЕСКИХ РАСЧЕТОВ

В целях исследования образования парагенезиса **py** + **asp** и условий появления золотосодержащего **As-py** при взаимодействии ранней рудной пиритовой матрицы с сульфоарсенидным раствором арсенопиритовой подстадии привлечено физико-химическое моделирование (ФХМ) на основе ПК «Селектор» (Казьмин и др., 1975; Карпов, 1981). В решении задач моделирования рудного процесса выделяются два этапа: I – подготовительный и II – собственно расчетной имитации минералообразования. Содержание подготовительного этапа включало решения ряда обратных задач ФХМ в последовательности частных систем для согласования термодинамических констант участвующих зависимых компонентов: ми-

неральных фаз, частиц и комплексов в гидротермальном растворе с основной базой термодинамических данных «Селектора-С» для его версии, данной в работе (Авченко и др., 2009). Согласование по методике, изложенной в статье (Вилор, Казьмин, 2007), объединяло частные системы как элементы одной общей в порядке увеличения числа независимых компонентов. Так, в системе **Fe – Na – Cl – H – O** «магнетит – раствор» (Tremaine, 1977) уточнялись термодинамические функции железистых зависимых компонентов раствора: аква-ионов, хлоридных, гидрооксо- и гидрооксихлоридных комплексов. В системе **Fe – S – Na – Cl – H – O** «пирит – раствор», по данным (Масалович, 1975), аналогичные функции согласовывались для серии Fe комплексов, включающей гидросульфиды, гидрооксогидросульфиды, тиосульфаты. Состав и термодинамические константы для системы **Fe – As – S – Na – Cl – H₂O** согласовывались у Fe комплексов в растворе, включая тиоарсениты, арсениды, арсенаты Fe и Na, а также у твердых минеральных фаз – **asp** и **lo**. Критерием удовлетворительного согласования в соответствии с ранее предложенным алгоритмом решения обратных задач ФХМ (Вилор, Казьмин, 2007) являлось достижение расчетами точности моделируемых экспериментов (Колонин и др., 1988; Pokrovski et al., 2002; Пальянова, 2008) на критерии условия глобального минимума свободной энергии соответствующих систем. Достигнут уровень согласования при следующих термодинамических функциях участвующих сульфидных фаз (табл. 1). В соответствии с предложенным алгоритмом (Вилор, Казьмин, 2007) в базу термодинамических данных включены функции g_T комплексов железа и сульфоарсенидных комплексов, согласованных с основной базой данных «Селектора» при расчетах фазовых соответствий в вышеперечисленных частных системах.

На II этапе расчетной имитации минералообразования получены решения прямых задач ФХМ для исследования состава минеральных парагенезисов в термодинамическом равновесии с раствором при фиксированных Р, Т и С. Рассчитанная эволюция парагенезисов рассматривает вариант переноса насыщенного раствора через последовательность резервуаров с изобарическим снижением температуры (при 300 бар и насыщенных паров воды) от 300 до 100°C с расчетными точками через 25°C. Смена ассоциаций твердых фаз при эволюции данного насыщенного раствора и инфильтрации его через пиритовую матрицу в соответствии с ситуацией на золоторудном месторождении (см. рис. 1) рассмотрена в расчете состава парагенезисов с координатами pH – температура. Использована аналогичная последовательность резервуаров с изобарическим пошаговым снижением температуры (300 бар). Термодинамические функции **As-py** рассчитаны на ос-

Таблица 1. Согласованные термодинамические функции твердых фаз системы Fe – As – S
Table 1. Coordinated thermodynamic functions of the Fe – As – S system solid phases

Минерал	Функция ΔG_{298}^0 , кал/моль	S_{298}^0 , кал/моль	Коэффициенты в уравнении теплоемкости			Литературный источник
			a	b	c	
Арсенопирит FeAsS^1	-34843	26,372	18,047	1,142	-1,803	Уточнено по данным ¹
Леллингит FeAs_2	-13985	28,643	18,329	0,741	-1,441	То же
Пирит FeS_2	-38296	12,65	17,88	1,32	-3,05	Химическая..., 1971
Пирит $\text{As}_1\text{Fe}_{0,969}\text{S}_2\text{As}_{0,031}$	-37710	12,356	17,88	1,32	-3,05	Рассчитано по Blan- chard et al., 2007
Пирит $\text{As}_2\text{FeS}_{1,969}\text{As}_{0,031}$	-38206	12,485	17,88	1,32	-3,05	
Пирит $\text{As}_3\text{FeS}_{1,934}\text{As}_{0,031}$	-37970	12,563	17,88	1,32	-3,05	
Пирит $\text{As}_4\text{FeS}_{1,934}\text{As}_{0,062}$	-38116	12,512	17,88	1,32	-3,05	
Пирротин $\text{Fe}_{0,877}\text{S}$	-22361	14,515	7,5	14,794	0	Yokokawa, 1988
Аурипигмент As_2S_3	-40296	39,101	25,251	8,709	0	То же
Реальгар As_2S_2^2	-30520	30,305	17,88	1,32	-3,05	«
Мышьяк As	0	8,4	5,23	2,22	0	Химическая..., 1971
Сера $\text{S}_{\text{ромб}}^0$	0	7,6	3,58	6,24	0	То же
Магнетит Fe_3O_4	-242710	34,928	743,3	-720,11	58,73	Дорогокупец и др., 1988; Yokokawa, 1988
Гематит Fe_2O_3	-177366	20,889	278,68	-217,45	24,32	То же
Арсенолит As_4O_6	-275461	51,195	42,09	-5,456	Не расч.	Yokokawa, 1988

¹ Колонин и др., 1988; Pokrovski et al., 2002; Папинкин и др., 1989; Perfetti et al., 2008.

² Уточнено по данным экспериментов Г. Д. Мироновой и др., 1983, 1990.

новании свойств серии составов данной фазы, приведенных в работе (Blanchard et al., 2007), для которой учтены 4 стехиометрических минала: $\text{As-py}_1\text{Fe}_{0,96875}\text{S}_2\text{As}_{0,03125}$ (1As замещает 1Fe), $\text{As-py}_2\text{FeS}_{1,96785}\text{As}_{0,03125}$ (1AsS замещает 1S₂), $\text{As-py}_3\text{FeS}_{1,93375}\text{As}_{0,03125}$ (1As замещает 1S₂ + 1S_{вакансия}), $\text{As-py}_4\text{FeS}_{1,93375}\text{As}_{0,0625}$ (2 As⁻¹ замещает 1 S_{2⁻²}). Кислотность-щелочность раствора соответствовала участвующим концентрациям HCl от 1×10^{-4} до 0,1 м и NaOH от 1×10^{-4} до 1 м. В расчете системы Fe – As – S – Na – Cl – H₂O принимают участие 559 зависимых компонентов, включая 404 иона и другие частицы раствора, 50 твердых фаз и 105 компонентов газовой фазы. Характеристическим для системы является присутствие в растворе арсенатов Na и Fe, арсенидов Fe, тиоарсенитов, тиосульфатов Na и Fe, полисульфидов, натровых сульфидов и сульфатов, а также производных сложных кислот, содержащих серу.

РЕЗУЛЬТАТЫ

Фазовый состав системы «арсенопирит + раствор»

При взаимодействии сероводородного раствора (0,01 H₂S м, 300 бар) и **asp** парагенезисы с участием сульфидов мышьяка и железа, а также магнетита (**mt**) сменяются в зависимости от температуры и состава (рН) гидротермального раствора (рис. 3, а). С увеличением щелочности на фоне возрастания температуры формируется последовательность ассоциаций: арсенопирит + реальгар (**re**) (± мышьяк элементарный, As_N) → арсенопирит → арсенопирит + магнетит > арсенопирит +

магнетит + леллингит с преимущественно инконгруэнтной растворимостью **asp**. Поле конгруэнтной растворимости минерала ограничивается 150–200-градусной изотермой в слабокислотном – близнейтральном интервале. Ниже ее преобладающий **asp** замещается ассоциацией **asp** + **py**. Сульфоарсенидная минеральная группа, в которой существуют **asp** с **orp**, **re** и As_N , устойчива только в кислотных растворах. При снижении давления до уровня упругости насыщенных паров воды положение границ оксидно-арсенидной ассоциации почти не меняется. Но относительно высокотемпературная часть **mt** + **asp** поля опускается в более кислотные условия, как и нижняя кислотная граница устойчивости **asp**. В отсутствие As_N поле **re** + **asp** расширяется. За счет сужения поля **asp** + **py** в низкотемпературной умеренно кислотной зоне увеличивается область сосуществования **asp** + **py** + **orp**. При составе системы **asp** + вода под давлением 300 бар, без дополнительного H₂S в растворе расширяется поле **asp** + **lo** + **mt**, опускаясь до рН = 6. **Py** выбывает из парагенезисов. Выделяется неширокая зона конгруэнтной растворимости **asp** от слабокислотных при температуре 300°C (рН = 3–4,2) до близнейтральных-щелочных (рН = 6–8) условиях при 100°C. В кислотной области располагаются ассоциации **asp** с **re** и As_N . При снижении давления до уровня упругости насыщенных паров воды в данной системе несколько расширяются по щелочности и температуре поля **asp** + **mt** и **orp** + **re** за счет выхода As_N , который находится в ассоциации с **asp** только выше 250°C и pH около 2 и менее.

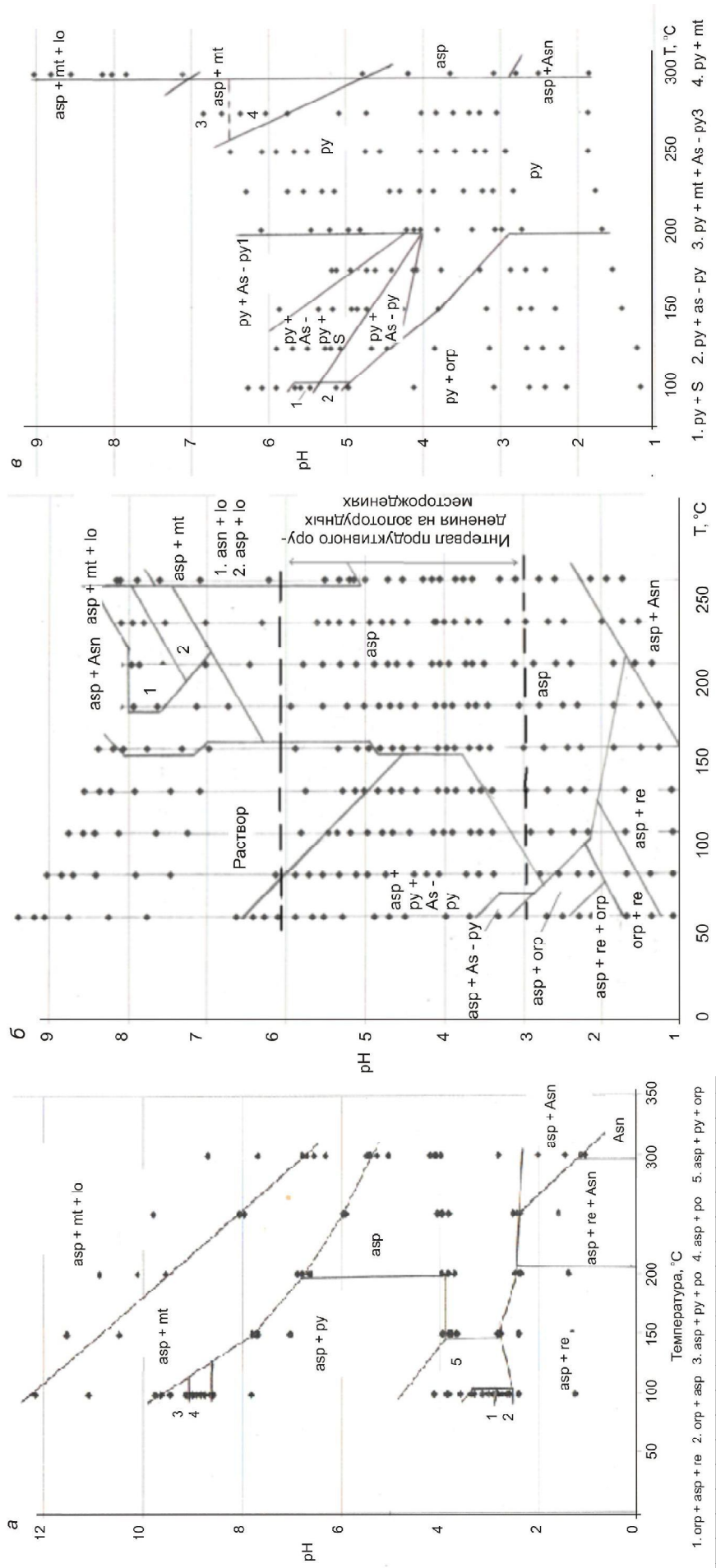


Рис. 3. Рассчитанные парагенезисы с участием асп, ру и As-ру в системе Fe–As–S–Na–Cl–H₂O: а – взаимодействие асп с сернистым раствором (0,01 H₂S м, 300 бар); б – эволюция составов твердых фаз в контакте с раствором, насыщенным относительно асп при 300°C, при прохождении его через пиритовую матрицу

Fig. 3. The calculated arsenopyrite, pyrite and arsenic pyrite parageneses in the Fe–As–S–Na–Cl–H₂O system: а – arsenopyrite interacting with sulfide solution (0,01 H₂S m, 300 bar); б – the evolution of the composition of solid phases contacting arsenopyrite-saturated solution at 300°C; в – the composition of solid phases contacting arsenopyrite-saturated solution at 300°C on its migration through the pyrite matrix

Последовательности парагенезисов при кислотно-щелочной эволюции раствора, насыщенного арсенопиритом

В мезотермальном интервале формирования продуктивного золотого оруденения исследуются изменения в составе твердых фаз, выделяющихся из раствора, проникающего в растворо(флюидо)доминирующую зону флюидной системы (ФС) (см.

рис. 3, б). Взаимодействие с окружающей минеральной средой не рассматривается. Численно воспроизведено перемещение массы раствора, насыщенного по отношению к арсенопириту при температуре 300°C (300 бар; 0,01 H₂S m) в последовательности резервуаров. Соотношение ассоциаций твердых фаз при стартовом состоянии ($t = 300^{\circ}\text{C}$) аналогично рассмотренному на рис. 3, а. Они сменяются соответственно увеличению щелочности раствора в ряду от **asp + As_N** в кислотной части к **asp**, **asp + mt** и **asp + lo + mt** в щелочной части диаграммы. При продвижении раствора по гидротермальной колонне (последовательности резервуаров) со снижающейся температурой выраженная смена ассоциаций твердых фаз, выделяющихся из раствора, свойственна кислотному интервалу с pH = 1–3. Здесь пара **asp + As_N**, устойчивая до 225°C, сменяется **asp** в присутствии сульфидов As: **re** и **orp** в разных сочетаниях.

Слабокислый – близнейтральный интервал диаграммы (см. рис. 3, б) соответствует полю конгруэнтной растворимости **asp**, которое около 200°C и ниже сменяется парагенезисом **asp + py** с участием мышьяковистого пирита **As-py₃**. На 100-градусном пределе к нему иногда добавляется разновидность, насыщенная мышьяком, – **As-py₄**. В близнейтральной и щелочной частях фазовой диаграммы располагается поле раствора, где минеральные новообразования отсутствуют. При достижении 200-градусной изотермы с ростом щелочности устойчива ассоциация **asp** и **lo** с **As_N**, который не появляется за 300-градусной изотермой.

Инфильтрация насыщенного раствора через пиритовую матрицу

Инфильтрация раствора, насыщенного по отношению к **asp** при 300°C, через пиритовую мат-

*Таблица 2. Рассчитанная инверсия pH при взаимодействии раствора, насыщенного в отношении **asp**, с пиритом*
Table 2. The calculated pH inversion for arsenopyrite-saturated solution reacting with pyrite

	Концентрация кислотного или щелочного компонента раствора, м							
	0,001 HCl		0,001 NaOH		0,01 NaOH		1 NaOH	
	pH	Δ pH	pH	Δ pH	pH	Δ pH	pH	Δ pH
В равновесии с арсенопиритом (300°C), p = 300 бар	3,65	–	4,781	–	7,111	–	9,025	–
В равновесии с пиритом (275°C), p = 300 бар	3,614	+0,0036	4,025	+0,756	4,728	+2,383	6,842	+2,183

*Примечание. ΔpH = pH в растворе с **asp** – pH в растворе с **py**.*

*Note. ΔpH = pH in solution + **asp** – pH in solution + **py**.*

рицу 2-й рудной стадии на месторождении с понижением температуры, также моделируется переходом его через последовательность резервуаров. В зависимости от pH формируются четыре основных поля парагенезисов (см. рис. 3, в): 1 – мономинеральный **py**, устойчивый до 175–200°C независимо от кислотности-щелочности; 2 – ассоциация **py + orp**, расположенная при температуре от 175°C в кислом – слабокислом интервале; 3 – существование **py** и **As-py₁**, иногда с участием серы. Здесь **orp** появляется около 100°C в близнейтральном интервале; 4 – парагенезис **py + mt + As-py₃**, находящийся от 275°C и выше при увеличении щелочности исходного раствора. Вследствие взаимодействия с **py** на фоне понижения температуры в щелочном растворе, насыщенном относительно **asp**, значительно уменьшается pH, хотя концентрация NaOH возрастает (табл. 2). Эффект обусловлен повышением содержания сульфатов.

Таким образом, на контакте существующих сульфидов **py** и **asp** резко изменяются кислотно-щелочные и окислительно-восстановительные условия со снижением щелочности гидротермального раствора, особенно с образованием буферной ассоциации **py + mt**. В низкотемпературных участках последовательности взаимодействия раствора с пиритом возможно появление некоторого избытка метастабильной серы. Ее последующее окисление является причиной пострудных преобразований, соответствующих стадии аргиллизации.

ОБСУЖДЕНИЕ

Влияние внешних параметров: P, T и состава раствора на парагенезисы с участием АПИ

Выделяются три поля характеристической растворимости **asp**, в тесной зависимости от кислотности-щелочности контактирующего раствора (см. рис. 3, а). В кислотной (pH до 4) преоблада-

ет инконгруэнтное растворение **asp** с образованием сульфидов мышьяка и собственно мышьяка. Но в слабокислотном интервале с pH 3–4 до 150°C располагается узкое поле конгруэнтной растворимости исходного минерала. Близнейтральной-щелочной области свойственны мономинеральный **asp** до 200°C и ассоциации его с сульфидами Fe при уменьшении температуры ниже 175–200°C. В щелочной области **asp** растворяется инконгруэнтно с появлением **mt** и **lo**. Поля конгруэнтной растворимости **asp**, его мономинеральной устойчивости охватывают интервалы pH от 2–3 (300°C) до 8–9 (100°C) независимо от давления и состава реагирующего раствора. Однако инконгруэнтная растворимость в сопровождении **ru** проявляется только в сернистых растворах, при некотором избытке H₂S (0,001–0,01 m). Изменения концентра-

ций участвующих элементов Fe и As от pH по температуре при слабой зависимости от состава раствора и давления имеют одинаковые тенденции (табл. 3). Концентрация железа снижается на 4 порядка с переходом от кислотного интервала к щелочному от 4–6 · 10⁻² (pH около 2) до 2,4 · 10⁻⁶ m (pH = 8,7). Концентрация As минимальна в близнейтральном интервале pH 4–7 при конгруэнтной растворимости **asp** на уровне 2,4 · 10⁻³ m. Она увеличивается с ростом кислотности в области устойчивости сульфидов мышьяка до 3 · 10⁻² m (pH = 2,2) и в щелочной области в присутствии **mt** и **lo** до 1,3 · 10⁻¹ m соответственно (pH = 8,8). Таким образом, в слабокислотном интервале содержания Fe и As близкие и высокие, образуют области совместной миграции. В щелочных условиях подвижность железа резко ограничивает

Таблица 3. Рассчитанные концентрации железа и мышьяка (lg m) в растворе при смене парагенезисов
Table 3. The calculated Fe and As solution concentrations (lg m) at changing parageneses

Состав раствора, параметры	рН											
	1	2	3	4	5	6	7	8	9	10	11	12
0,01m H ₂ S, 100°C Fe As 300 бар 300°C Fe As	-1,58 -4,61		-2,92 -3,59	-3,17 -3,18			-5,79 -4,45				-5,10 -4,16	-4,11 -4,13
		-1,32	-2,32	-2,60	-4,38		-5,66 -1,88	-5,61 -0,86				
0,01m H ₂ S, 100°C Fe As днпв 300°C Fe As		-1,15 -5,96	-2,19 -6,36		-4,79 -6,09			-6,18 -2,9			-5,78 -2,36	-5,30 -2,45
		-1,16 -1,50	-2,20 -2,26	-2,586 -2,593	-4,40 -3,22		-5,75 -1,88	-5,74 -0,87				
Вода, 100°C Fe As 300 бар 300°C Fe As	-1,65 -6,53	-2,65 -7,00				-5,97 -5,97			-5,54 -5,42	-5,36 -4,91	-5,18 -4,38	-4,91 -3,45
		-1,32 -1,84	-2,33 -2,59	-3,529 -3,165	-4,91 -2,99	-5,56 -2,64	-5,66 -1,84	-5,61 -0,87				
Вода, 100°C Fe As днпв 300°C Fe As		-1,18 -4,48		-3,316 -4,89	-5,59 -5,86		-6,08 -6,08		-5,96 -4,4	-5,12 -3,73	-5,76 -2,82	-5,3 -2,18
		-1,17 -2,55		-3,1 -3,1	-4,80 -2,99	-5,36 -2,16	-5,75 -1,83	-5,74 -0,86				

Таблица 4. Рассчитанные концентрации моляльных (m_i) ведущих форм переноса основных компонентов в растворе, насыщенном относительно **asp**

Table 4. The calculated concentrations (m_i) of the leading transfer types of main components in arsenopyrite-saturated solution

300°C			200°C			100°C		
As	Fe	S	As	Fe	S	As	Fe	S
H ₃ AsS ₃ ⁰ 7,4 · 10 ⁻⁴	Fe ²⁺ 2,1 · 10 ⁻⁵	HS ⁻ 7,8 · 10 ⁻³	H ₃ AsS ₃ 7 · 10 ⁻⁴	Fe ²⁺ 2,4 · 10 ⁻⁶	H ₂ S 5,5 · 10 ⁻⁵	H ₃ AsS ₃ 3,2 · 10 ⁻⁵	Fe ²⁺ 1,5 · 10 ⁻⁴	H ₂ S 1,9 · 10 ⁻³
H ₂ AsS ₃ ⁻ 7,8 · 10 ⁻⁷	FeOH ⁺ 2,5 · 10 ⁻⁶		H ₂ AsS ₃ ⁻ 3,2 · 10 ⁻⁵	FeHS ⁺ 7,1 · 10 ⁻⁴	HS ⁻ 7,7 · 10 ⁻³	H ₂ AsS ₃ ⁻ 2,6 · 10 ⁻⁴	FeHS ⁺ 7,5 · 10 ⁻⁴	HS ⁻ 6,6 · 10 ⁻³
H ₃ AsO ₃ ⁰ 1,3 · 10 ⁻⁶	FeHS ⁺ 7,1 · 10 ⁻⁴		HAsS ₃ ²⁻ 5,7 · 10 ⁻⁷	Fe(HS) ₂ ⁰ 1,4 · 10 ⁻⁵		HAsS ₃ ²⁻ 7,4 · 10 ⁻⁵	Fe(HS) ₂ ⁰ 5,4 · 10 ⁻⁴	
	Fe(HS) ₂ ⁰ 7,8 · 10 ⁻⁶		HAsS ₂ ⁰ 2 · 10 ⁻⁷	Fe(HS) ₃ ⁻ 1,7 · 10 ⁻⁶		AsS ₃ ³⁻ 6,7 · 10 ⁻⁶		
	Fe(HS) ₃ ⁻ 1,4 · 10 ⁻⁶							

Примечание. Концентрации рассчитаны для переноса в стартовом 0,007 m растворе NaOH, насыщенном **asp** при температуре 300°C.

Note. Concentrations were calculated for transport by the start 0.007 NaOH m solution, saturated by **asp** near 300°C.

ся, а у As возрастает. Здесь миграция элементов раздельная.

Формирование парагенезисов с участием арсенопирита и мышьяковистого титана

Моделирование инфильтрации раствора, насыщенного по отношению к арсенопириту при 300°C (300 бар) (см. рис. 3, б), через последовательность термоячеек с отделением раствора от образовавшихся равновесных твердых фаз в координатах pH – температура отражает формирование кислотной, щелочной и продуктивной групп **asp** содержащих ассоциаций – парагенезисов. Однако кислотная группа ($\text{pH} \leq 3$) с участием фазы As_N и сульфидов As и щелочная ($\text{pH} \geq 6$ –6,5) в присутствии **mt**, **lo** и As_N реально маловероятны скорее всего из-за крайне редко встречающихся параметров сильной кислотности и щелочности в восстановительных гипотермальных глубинных растворах. Наиболее распространён на рудных месторождениях слабокислотный – близнейтральный продуктивный интервал устойчивости мономинерального **asp** до 200°C и сменяющий его с понижением температуры парагенезис с **py** и As-py_{1-3} . Особенность данного и примыкающего щелочного интервала составляет пространство ненасыщенных растворов ниже 200°C ($\text{pH} \geq 6$). Вполне допустимо, что, появляясь в зоне оруденения с предшествующими рудными ассоциациями, такие растворы произведут выщелачивание рудного вещества, создавая в залежах их «пустые» части. На всем протяжении поля устойчивости мономинерального **asp** (на примере вектора состава с $\text{pH}=4,53$, $\text{NaOH}=0,007 \text{ m}$) вплоть до 150°C мольные соотношения Fe, As и S стабилизированы на уровне 7: 7: 100. Они изменяются до 3 : 6 : 100 и 0,84 : 4 : 97 для 125 и 100°C соответственно при выделении продуктивной ассоциации **asp** + **py** + As-py_{1-3} . Ведущим формам переноса основных компонентов системы присуща сульфидная мотивация составов преобладающих комплексов (табл. 4).

Транспорт мышьяка в виде тиоарсенитов H_3AsS_3 с диссоциатами преобладает. Лишь при температуре 300°C и выше вровень с ним выходят концентрации мышьяковистой кислоты $\text{H}_3\text{AsO}_3^{\circ}$. Железо связывается акваионом Fe^{2+} и гидросульфид-ионами. Значение первого с ростом температуры понижается. При 300°C с ними конкурирует простой гидрооксокомплекс FeOH^+ . Преобладающими мигрантами серы выступают HS^- и H_2S . Перенос As и Fe раздельный. Рассчитанные концентрации их совместных форм – арсенатов, арсенидов, тиоарсенидов крайне незначительны.

При вступлении раствора, насыщенного по отношению к **asp** при 300°C, в пиритовую матрицу в мономинеральном поле пирита не происходит образование дополнительных фаз при снижении температуры до 175°C, за исключением относительно высокотемпературного щелочного участ-

Таблица 5. Рассчитанные концентрации компонентов мышьяковистого раствора в контакте с пиритом
Table 5. The calculated arsenic solution component concentrations contacting pyrite

Темпера- тура, °C	Концентрация кислотного и щелочного компонента раствора, м					
	0,001 HCl m Fe	0,001 NaOH 0,5 NaOH	0,001 HCl m As	0,001 NaOH 0,5 NaOH	0,001 HCl m S	0,001 NaOH 0,5 NaOH
300	$6,57 \cdot 10^{-4}$	$1,03 \cdot 10^{-4}$	$2,49 \cdot 10^{-6}$	$6,60 \cdot 10^{-4}$	$2,71 \cdot 10^{-4}$	$5,61 \cdot 10^{-2}$
275	$1,07 \cdot 10^{-3}$	$3,58 \cdot 10^{-4}$	$4,96 \cdot 10^{-5}$	$6,60 \cdot 10^{-4}$	$2,71 \cdot 10^{-4}$	$5,61 \cdot 10^{-2}$
250	$8,07 \cdot 10^{-4}$	$9,92 \cdot 10^{-5}$	$9,245 \cdot 10^{-6}$	$6,60 \cdot 10^{-4}$	$2,71 \cdot 10^{-4}$	$5,61 \cdot 10^{-2}$
225	$6,93 \cdot 10^{-4}$	$2,08 \cdot 10^{-5}$	$1,67 \cdot 10^{-6}$	$6,60 \cdot 10^{-4}$	$2,71 \cdot 10^{-4}$	$5,61 \cdot 10^{-2}$
200	$5,82 \cdot 10^{-4}$	$3,65 \cdot 10^{-6}$	$2,76 \cdot 10^{-7}$	$6,60 \cdot 10^{-4}$	$2,71 \cdot 10^{-4}$	$5,61 \cdot 10^{-2}$
175	$4,70 \cdot 10^{-4}$	$5,81 \cdot 10^{-7}$	$4,3 \cdot 10^{-8}$	$6,50 \cdot 10^{-4}$	$2,71 \cdot 10^{-4}$	$5,61 \cdot 10^{-2}$
150	$4,00 \cdot 10^{-4}$	$8,96 \cdot 10^{-8}$	$8,34 \cdot 10^{-9}$	$5,30 \cdot 10^{-4}$	$2,71 \cdot 10^{-4}$	$5,61 \cdot 10^{-2}$
125	$3,43 \cdot 10^{-4}$	$1,21 \cdot 10^{-8}$	$\leq 1 \cdot 10^{-12}$	$2,45 \cdot 10^{-4}$	$1,77 \cdot 10^{-4}$	$5,61 \cdot 10^{-2}$
100	$1,96 \cdot 10^{-4}$	$1,52 \cdot 10^{-9}$	$\leq 1 \cdot 10^{-12}$	$3,40 \cdot 10^{-5}$	$6,62 \cdot 10^{-5}$	$5,61 \cdot 10^{-2}$
					$1,22 \cdot 10^{-3}$	$1,58 \cdot 10^{-3}$
						$5,67 \cdot 10^{-1}$

ка (275°C) с ассоциацией **py + mt** и ранним **As-py₃** (см. рис. 3, *в*). Ниже 200°C в близнейтральном интервале устойчивы ассоциации **py** и железозамещенного **As-py₁**. Состав раствора дифференцируется только по концентрации железа и слабее для мышьяка с дальнейшим уменьшением температуры и возрастанием pH на фоне концентрации серы, изменяющейся в пределах 1-го порядка (табл. 5).

На уровне появления **As-py₁** содержание железа в растворе становится крайне низким, менее $1 \cdot 10^{-7} - 1 \cdot 10^{-8}$ м. Преобладающей формой переноса мышьяка являются тиоарсениты, среди которых доминируют H_3AsS_3 и его диссоциаты. При увеличении щелочности возрастает роль арсенатов и арсенитов. Но на 100-градусной изотерме существенно главенствуют тиоарсениты. В кислотном и слабощелочном растворах железо находится в форме гидросульфида FeHS^+ , которому на один порядок уступает концентрация аква-иона Fe^{2+} . На уровне 150°C и ниже увеличивается значение $\text{Fe}(\text{HS})_2^0$ и $\text{Fe}(\text{HS})_3^-$. К преобладающим в растворе HS^- и H_2S с увеличением щелочности NaSO_4^- и SO_4^{2-} , концентрации которых ниже на 1–2 порядка.

К динамике выделения asp

Присутствие **asp** в рассчитанных парагенезисах (см. рис. 3, *а, б*) обусловлено включением этой фазы в стартовый состав каждого из вариантов расчета образующих частных систем. Поэтому мольные отношения Fe, As и S стабилизированы в насыщенных растворах равновесием с АПИ, но постепенно уменьшаются со снижением температуры менее 200°C при появлении незначительного количества дополнительной фазы **As-py₁₋₃**. При взаимодействии раствора с пиритовой матрицей **asp** отсутствует в рассчитанных фазовых составах. Причиной является устойчивая диспропорция валовых концентраций растворенных мышьяка и железа, в основе которой находятся низкие мольные отношения Fe, уменьшающиеся на фоне снижения температуры от $1,1 \times 10^{-4}$ (275°C) до $2,2 \times 10^{-8}$ м ($150-125^{\circ}\text{C}$) и определяемые низкой конгруэнтной растворимостью пирита. Но высокие рассчитанные концентрации As, задаваемые исходным насыщением раствора относительно **asp** при 300°C , не реализуются в твердую фазу вследствие дефицита Fe, за исключением небольшого количества **As-py₁**, так как при конгруэнтной растворимости **asp** концентрации Fe и As должны быть полностью сопоставимы.

В продуктивном интервале рассчитанных арсенопиритовых парагенезисов и в варианте инфильтрации раствора через пирит его мышьяковистая разновидность фиксируется при температуре ниже 200°C . Появление этой важнейшей, широко распространенной золотосодержащей минеральной фазы – **As-py** весьма типично на бога-

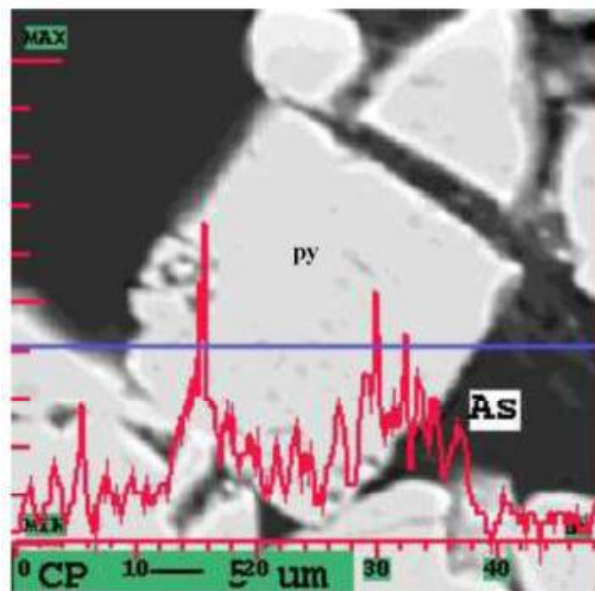


Рис. 4. Рентгеновское излучение центров в субструктуре As-содержащего пирита. Изображение поверхности зерна минерала в обратнорассеянных электронах. Красная линия показывает распределение характеристического рентгеновского излучения мышьяка по указанному на изображении сечению (прямая линия)

Fig. 4. The X-ray radiation of centers in the As pyrite substructure. The mineral grain surface is imaged in reversely dispersed electrons. The curve shows the distribution of characteristic X-ray radiation of As over the cross-section (the straight line)

тых месторождениях карлинского типа, где он образуется в рудах совместно с марказитом при температуре $200-150^{\circ}\text{C}$ (Cline, 2001). В целом же на рассматриваемом древнем (поздний рифей – средний палеозой) глубинном месторождении вхождение As в пириты ограничивается 2,5 мас.%. И поскольку между составами **asp** и **py** нет переходных промежуточных соотношений, то за пределами указанных содержаний As, вероятно, при его привносе в пирит начинает формироваться структура, которая при достижении стехиометрических соотношений образующих элементов сразу соответствует микроявлению **asp**, далее разрастающемуся в отдельный метакристалл – вкрапленник, порфиробласт. Новообразование вкрапленников арсенопирита отчетливо проявлено среди обособлений пирита предшествующей рудной стадии (см. рис. 1).

С помощью электронно-зондового микроанализа замечено проявление аналога этой предшествующей почти неупорядоченной субструктуры в отдельных блоках сопутствующего мышьяковистого пирита. Изучение распределения характеристического рентгеновского излучения мышьяка позволило выделить мышьяковистые центры, расположенные в пиритовой матрице. На рис. 4 мышьяковистым центрам в As-содержащем пи-

рите соответствуют пики на кривой распределения излучения. Очевидно, образование такой субструктурой соответствует состоянию саморазвивающейся ФС в точке бифуркации с возникновением стабильной структуры, обеспечивающей рост вкрапленных кристаллов **asp**.

ВЫВОДЫ

1. Мышьяковистый пирит с содержанием As до 6, а то и 10 мас.% широко распространен на золоторудных месторождениях, где эта фаза концентрирует золото наряду с арсенопиритом и обычным пиритом. В области As-содержащего твердого раствора в пирите возникают дианионные группы AsS . На месторождении Верный в формульном составе рудных мышьяковистых пиритов в зависимости от содержания As выделяется группа с замещенной серой (при среднем As 0,443 мас.%, $\sigma = \pm 0,201$) **As-py₁** и группа, в которой мышьяк замещает серу и железо (при среднем As 1,545 мас.%, $\sigma = \pm 0,531$) **As-py₂**. Группа **As-py₂** связана с участками кристаллов **py**, содержащими повышенные концентрации As.

2. Согласованы термодинамические функции твердых фаз системы **Fe – As – S – Cl – Na – H₂O**, включая **As-py** и частицы в водном растворе.

3. В наиболее распространенном на рудных месторождениях слабокислотном – близнейтральном продуктивном интервале устойчив мономинеральный **asp** до 200°C, сменяющийся при понижении температуры парагенезисом **py + py₁₋₃**.

4. При вступлении раствора, насыщенного по отношению к **asp** при 300°C, в пиритовую матрицу в мономинеральном поле пирита не образуются дополнительные фазы при снижении температуры от 175–200°C. Ниже 200°C в близнейтральном интервале устойчива ассоциация **py** и железозамещенного **As-py₁**.

5. Между составами **asp** и **py** нет переходных промежуточных соотношений, и с привносом As в пирите возможно формирование структур, которые при достижении стехиометрических соотношений образующих элементов дают микровключения **asp**, соответствующие прохождению системой точки бифуркации. Далее развиваются отдельные метакристаллы – вкрапленники **asp**.

ЛИТЕРАТУРА

Авченко О. В., Чудненко К. В., Александров И. А. Основы физико-химического моделирования минеральных систем. – М. : Наука, 2009. – 229 с.

Вилор Н. В., Казьмин Л. А. Применение физико-химического моделирования при исследовании сульфоарсенидных комплексов в гидротермальных растворах // Геология и геофизика. – 2007. – Т. 48, № 6. – С. 589–603.

Вилор Н. В., Кажарская М. Г., Бычинский В. А. и др. Геохимические корреляции и динамика соотношений «раствор – порода» в рудоносных флюидных системах // Геохимия. – 2003. – № 12. – С. 1305–1317.

Вилор Н. В., Кажарская М. Г., Чупарина Е. В. и др. Распределение концентраций золота в месторождениях Бодайбинского рудного района // Руды и металлы. – 2007. – № 1. – С. 34–43.

Гаврилов А. М., Кряжев С. Г. Минерало-геохимические особенности руд месторождения Сухой Лог // Разведка и охрана недр. – 2008. – № 8. – С. 3–16.

Горячев Н. А., Викентьев О. В., Бортников Н. С. и др. Наталкинское месторождение мирового класса: распределение РЭЗ, флюидные включения, стабильные изотопы кислорода, условия формирования руд (Северо-Восток России) // Геология рудных месторождений. – 2008. – Т. 50, № 5. – С. 414–444.

Дорогокутец П. И., Карпов И. К., Лашкевич В. В. и др. Изобарно-изотермические потенциалы минералов и компонентов водного раствора в программном комплексе «Селектор» // Физико-химические модели в геохимии. – Новосибирск : СО «Наука», 1988. – С. 124–147.

Казьмин Л. А., Халиуллина О. А., Карпов И. К. Расчет химических равновесий поликомпонентных гетерогенных систем методом минимизации свободной энергии // Информ. бл. Алгоритмы и программы. ВНТИЦ – 1975. – № 3.

Канакин С. В., Карманов Н. С. Архитектура и основные возможности программного комплекса MARshell-32 : тез. докл. V Рос. конф. по рентгеноспектральному анализу. – Иркутск, 2006. – С. 48.

Карпов И. К. Физико-химическое моделирование на ЭВМ в геохимии. – Новосибирск : Наука, 1981. – С. 172.

Кларк Л. Фазовые отношения в системе Fe – As – S // Проблемы эндогенных месторождений. – М. : Мир, 1966. – Вып. 3. – С. 160–250.

Колонин Г. Р., Пальянова Г. А. Арсенопиритсодержащие минеральные ассоциации как индикаторы физико-химических условий гидротермального рудообразования // Геохимия. – 1991. – № 10. – С. 1481–1491.

Колонин Г. Р., Пальянова Г. А., Широносова Г. П. Устойчивость и растворимость арсенопирита в гидротермальных растворах // Геохимия. – 1988. – № 6. – С. 843–856.

Конеев Р. И., Хамиатов Р. А., Мун Ю. С. и др. Нанохимический ряд золотых и золото-серебряных месторождений Узбекистана // Нанохимия золота : тр. симп. – Владивосток : Дальнаука, 2008. – С. 92–100.

Константинов М. М., Некрасов Е. М., Сидоров А. А., Стружков С. Ф. Золоторудные гиганты России и мира. – М. : Науч. мир, 2000. – 268 с.

Масалович А. М. Перенос вещества при отложении пирита в гидротермальных системах // Геология рудных месторождений. – 1975. – Т. 17, № 2. – С. 59–69.

Миронова Г. Д., Зотов А. В., Гулько Н. И. Экспериментальное определение растворимости аурипигмента в кислых растворах при 25–150°C // Геохимия. – 1983. – № 12. – С. 1762–1768.

Миронова Г. Д., Зотов А. В., Гулько Н. И. Экспериментальное исследование растворимости аурипигмента в сульфидных растворах при 25–150°C и устойчивость сульфидных комплексов мышьяка // Там же. – 1990. – № 5. – С. 691–703.

Пальянова Г. А. Физико-химические особенности поведения золота и серебра в процессах гидротермального рудообразования. – Новосибирск : Изд-во СО РАН, 2008. – С. 220.

Пашинкин А. С., Муратова В. А., Антиохова А. М., Мусеев Н. В. Теплоемкость и термодинамические функции арсенопирита // Неорганические материалы. – 1989. – Т. 23, №2. – С. 221–224.

Сафонов Ю. Г. Золоторудные и золотосодержащие месторождения мира – генезис и металлогенический потенциал // Геология рудных месторождений. – 2003. – Т. 45, №4. – С. 305–320.

Тюкова Е. Э., Ворошин С. В. Состав и парагенезис арсенопирита в месторождениях и вмещающих породах Верхне-Колымского района (к интерпретации генезиса сульфидных ассоциаций). – Магадан: СВКНИИ ДВО РАН, 2007. – С. 107.

Химическая термодинамика в петрологии и геохимии. – Иркутск : Институт геохимии СО РАН, 1971. – 385 с.

Blanchard M., Alfredson M., Brodholt J. et al. Arsenic incorporation into FeS₂ pyrite and its influence on dissolution: ADFT study // Geochim. et Cosmochim. Acta. – 2007. – Vol. 71, No. 3. – P. 624–630.

Bostick B. C., Fendorf S. Arsenite sorption on troilite (FeS) and pyrite (FeS₂) // Ibid. – 2003. – Vol. 67, No. 5. – P. 909–921.

Chudnenko K. V., Karpov I. K., Bychinskii V. A., Kulik D. A. Current status of the SELEKTOR software package // Water-rock interaction / eds. Y. K. Kharaka, O. V. Chudaev : Proc. 8th Inter. Symp. on Water-Rock Interaction. A. A. Balkema. – Vladivostok, 1995. – P. 725–727.

Cline J. S. Timing of gold and arsenic sulfide mineral deposition at Getchell Carlin-type gold deposit, north-central Nevada // Econ. Geol. – 2001. – Vol. 96, No. 1. – P. 75–89.

Karpov I. K., Chudnenko K. V., Kulik D. A., Bychinskii V.A. The complex programming minimization of five thermodynamic potentials other, than Gibbs energy in geochemical

modeling // Am. Journ. of Sci. – 2002. – Vol. 302, No. 4. – P. 281–311.

Kretschmar U., Scott S. D. Phase relations involving arsenopyrite in the system Fe – As – S and their application // Canad. Mineral. – 1976. – Vol. 14. – P. 364–386.

Perfetti E., Pokrovski G. S., Ballerat-Busserolles K. et al. Densities and heat capacities of aqueous arsenious and arsenic acid solutions to 350°C and 300 bar and revised thermodynamic properties of As(OH)₃⁰(aq), AsO(OH)₃⁰(aq) and iron sulfarsenide minerals // Geochim. et Cosmochim. Acta. – 2008. – Vol. 72, No. 3. – P. 713–731.

Pokrovski G. S., Kara S., Roux J. Stability and solubility of arsenopyrite in crustal fluids // Ibid. – 2002. – Vol. 66, No. 13. – P. 2361–2378.

Reich M., Becker V. First principles calculation of thermodynamic mixing properties of arsenic incorporation into pyrite and marcasite // Chemical Geology. – 2006. – Vol. 225. – P. 278–290.

Shock E. L., Sassani L., Willes M., Sverjensky D. A. Inorganic species in geologic fluids: correlation among standard molal thermodynamic properties of aqueous hydroxide complexes // Geochim. et Cosmochim. Acta. – 1997. – Vol. 61, No. 5. – P. 907–950.

Simon G., Kesler S. E., Chryssoulis S. Geochemistry and texture of gold-bearing arsenian pyrite, Twin Creeks, Nevada: implication for deposition of gold in Carlin-type deposits // Econ. Geol. – 1999. – Vol. 94, No. 3. – P. 405–422.

Tremaine P. R., von Massov R., Shierman G. R. A calculation of Gibbs free energy for ferrous ions and the solubility of magnetite in H₂O and D₂O to 300°C // Thermochim. Acta. – 1977. – Vol. 19, No. 3. – P. 287–300.

Yokokawa H. Tables of thermodynamic properties of inorganic compounds // J. National Chem. Labor. for Industry. – 1988. – Vol. 83, No. 11. – P. 27–121.

Поступила в редакцию 07.06.2010 г.

PHYSICOCHEMICAL MODELS OF ORE-FORMING PROCESSES ASSOCIATED WITH Fe – As – S – Na – Cl – H₂O SULFOARSENIDE SYSTEM AT GOLD LODES

N. V. Vilor, L. A. Kazmin, L. A. Pavlova

The processes of Au quartz-sulfide mineralization of quartz-pyrite-arsenopyrite type are simulated in terms of a numerical physicochemical model underlain by calculated thermodynamic constants of solid mineral phases and soluble components of the Fe – As – S – Na – Cl – H₂O sulfoarsenide system. The thermodynamic functions of arsenic pyrite minerals are calculated using the analytical data available on ore-forming processes. Successively forming arsenopyrite parageneses are calculated for water and sulfide hydrothermal solutions at temperatures 100–300°C, pressure 300 bar and by the saturation line in conditions of a step-by-step evolution of arsenopyrite-saturated solution and its migration through the pyrite matrix. The stable arsenic pyrite areas are established.

Key words: arsenopyrite, As pyrite, hydrothermal solution, physicochemical modeling, mineral-forming processes.